

РАЗРАБОТКА ТЕХНОЛОГИИ НАНЕСЕНИЯ ЭЛЕКТРОВЗРЫВНЫМ МЕТОДОМ ТЕРМОБАРЬЕРНЫХ ПОКРЫТИЙ С ВНЕШНИМ КЕРАМИЧЕСКИМ СЛОЕМ И СВЯЗУЮЩИМ СЛОЕМ НА ОСНОВЕ ВЫСОКОЭНТРОПИЙНОГО СПЛАВА НА ТЕПЛОНАГРУЖЕННЫЕ ДЕТАЛИ ГАЗОТУРБИННЫХ УСТАНОВОК ИЗ ЖАРОПРОЧНЫХ НИКЕЛЕВЫХ СПЛАВОВ

Филяков А.Д.

тел.: +7 (903)-994-71-20

e-mail: filyakov.1999@mail.ru





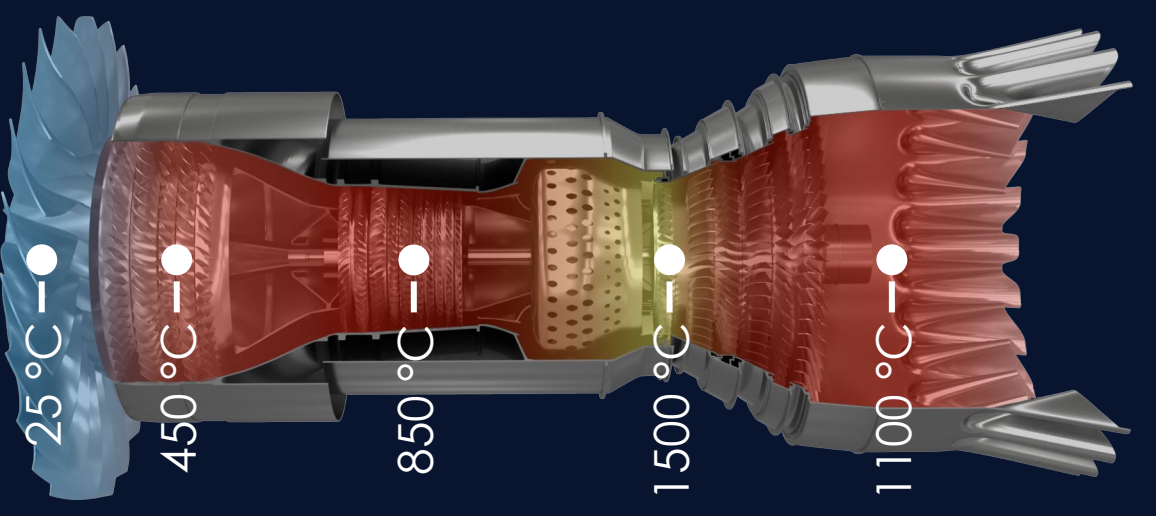
Вызовы и потребности







Лопатки ТВД – самый нагруженный компонент





Предлагаемое решение



Нанесение многослойного термобарьерного покрытия при помощи метода электровзрывного напыления

Ожидаемая себестоимость нанесения покрытия на одну лопатку ~500 \$*
Стоимость новой лопатки ~16000 \$*

* для CFM56-5b/7b



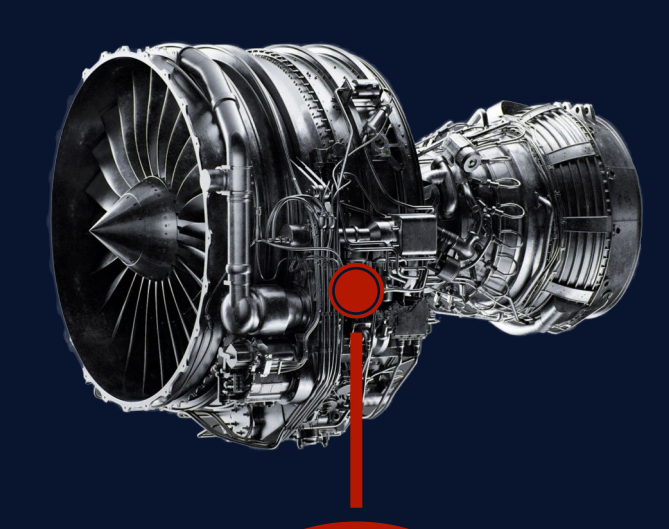
Преимущества предлагаемого решения

- Ремонт лопаток ТВД при помощи предлагаемого метода позволяет сэкономить до 80 % от стоимости покупки новой.
- При теплопроводности предлагаемого покрытия от 1,62 до 0,72 Вт/К*м ожидается увеличение межсервисных интервалов для лопаток ТВД от 4,5 до 36,5 %.
- Отсутствие необходимости создания глубокого вакуума или использования инертных газов.
- Снижение капитальных затрат по сравнению с EB-PVDтехнологией в <mark>2–3 раза</mark> за счет упрощённого оборудования и меньших требований к вакуумным системам.



Рыночные возможности

Отношение стоимости нанесения покрытий к стоимости авиадвигателя



0,5 – 3 % 20 – 280 тыс. \$

Целевые рынки

ГТУ Авиадвигатели







Потенциальные потребители

- Ростех (ПАО ОДК);
- S7 Technics;
- Аэрофлот техникс;
- OOO ((PГТ))



Бизнес-модель



Лицензировани технологии нанесения покрытий



Продажа оборудования для электровзрывного напыления



Продажа материалов электровзрывного напыления



Инжиниринг и консалтинг



Команда



Филяков Артем Дмитриевич

Руководитель проекта СибГИУ. Аспирант. Физика конденсированного состояния



Чумачков Илья Игоревич

Научный сотрудник, материаловед СибГИУ. Аспирант. Сварка и родственные процессы



Технологическая зрелость решения



Подтверждение жизнеспособности предлагаемого решения. Нанесение тестовых покрытий. Определение ключевых параметров.

Металлографические исследования.

Исследование фазового состава.

Испытание на термический шок и термоциклирование.

Выход на TRL 3. Достижение MVP. Q4 2025.



Инициация проекта. Сбор информации.

Q3 2023

TRL 1. Определены фундаментальные требования проекта

Q4 2024

Получен грант на развитие проекта. Зарегистрировано ООО «ПТЗП».

Q3 202!

TRL 2. Отработан метод электровзрывного нанесения покрытий.

Q4 2025

TRL 3. Исследования подтверждают работоспособность концепции.

Q3 2026

ТРL 4. Завершен полный цикл исследования покрытий.

Дорожная карта

Q2 2027

TRL 5. Разработан прототип промышленной электровзрывной установки.

7707 78

ТРЕ 7. Отработана технология получение покрытий на реальных лопатках ТВД.

Q42027

Q1 2028

TRL 8. Технология готова. Покрытия проверены в реальных условиях.

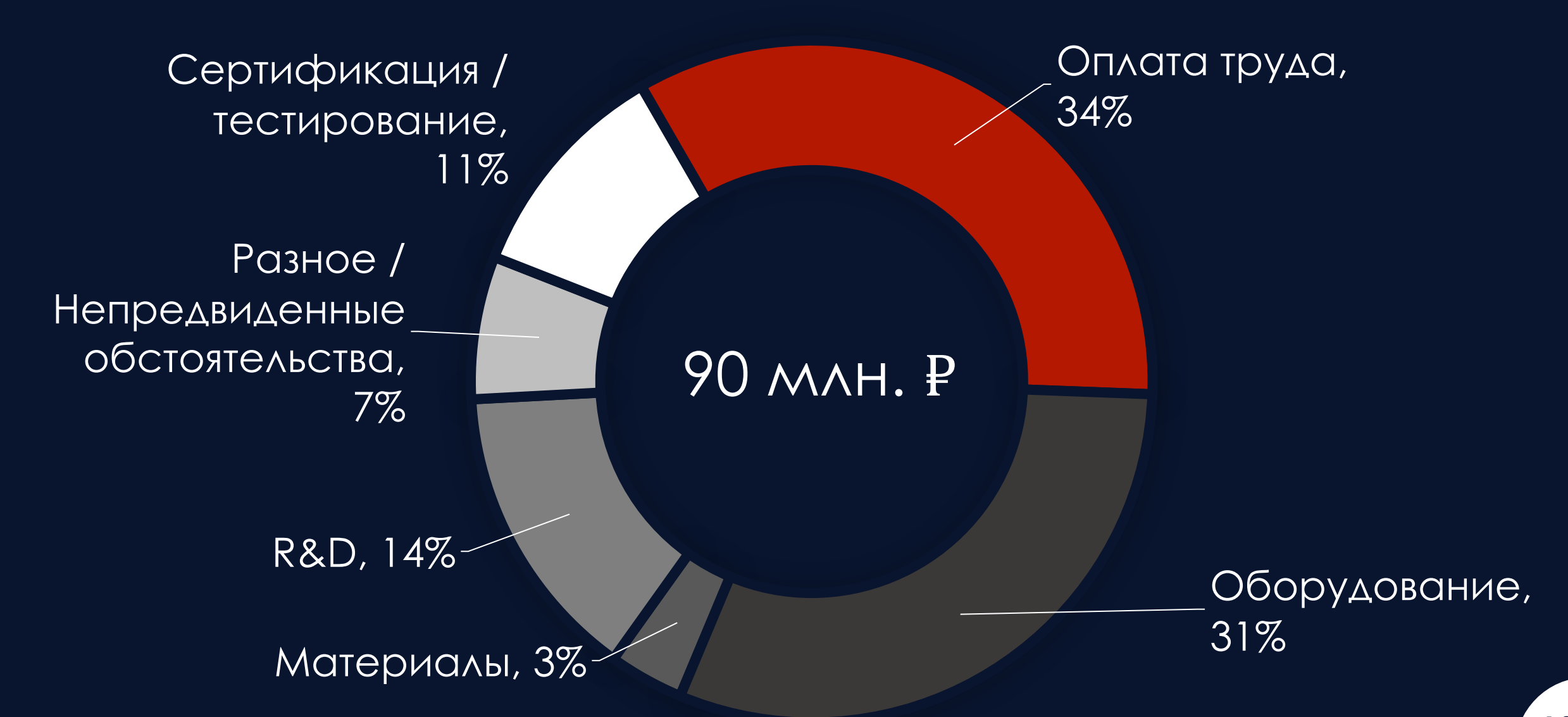
Q4 2028

ТРС 9. Работоспособность в реальных условиях подтверждена. Выход на рынок.





Необходимое финансирование







OPH 1127921

Спасибо за внимание!

Филяков А.Д.

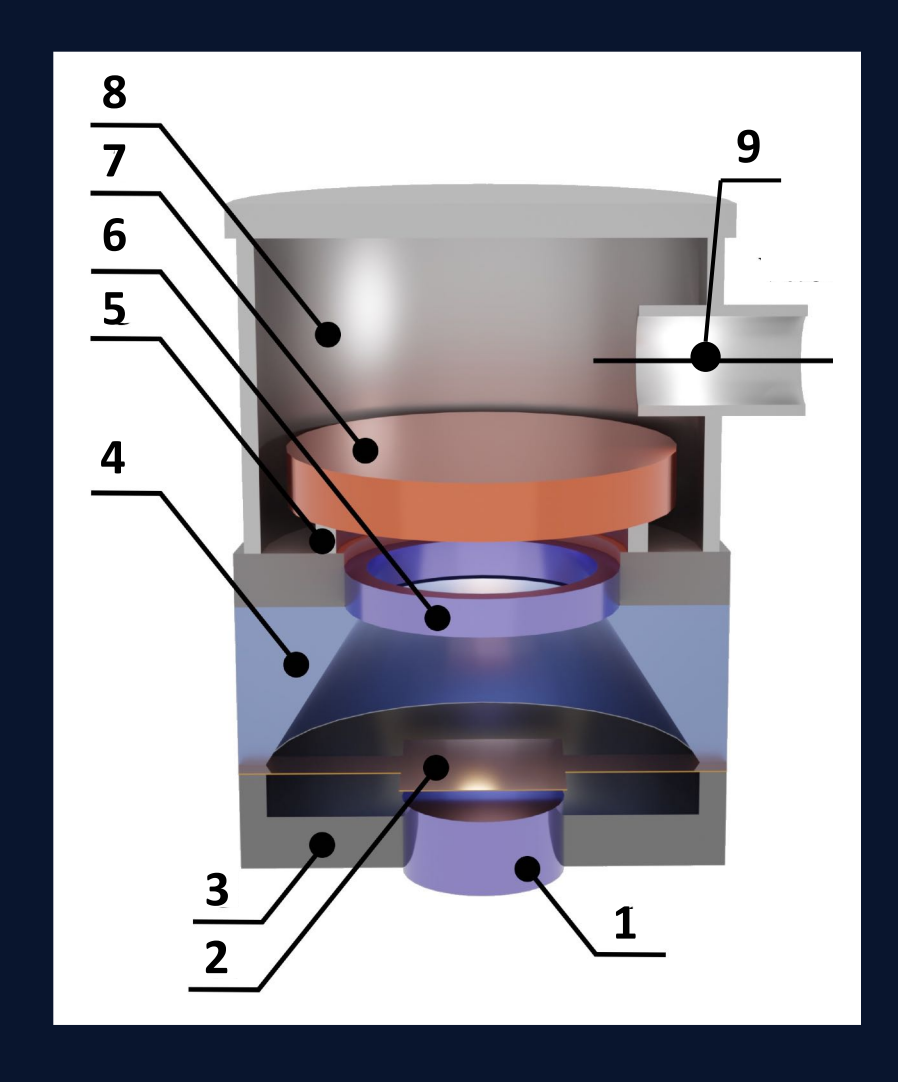
тел.: +7 (903)-994-71-20

e-mail: filyakov.1999@mail.ru





Приложение 1. Схема электровзрывной камеры

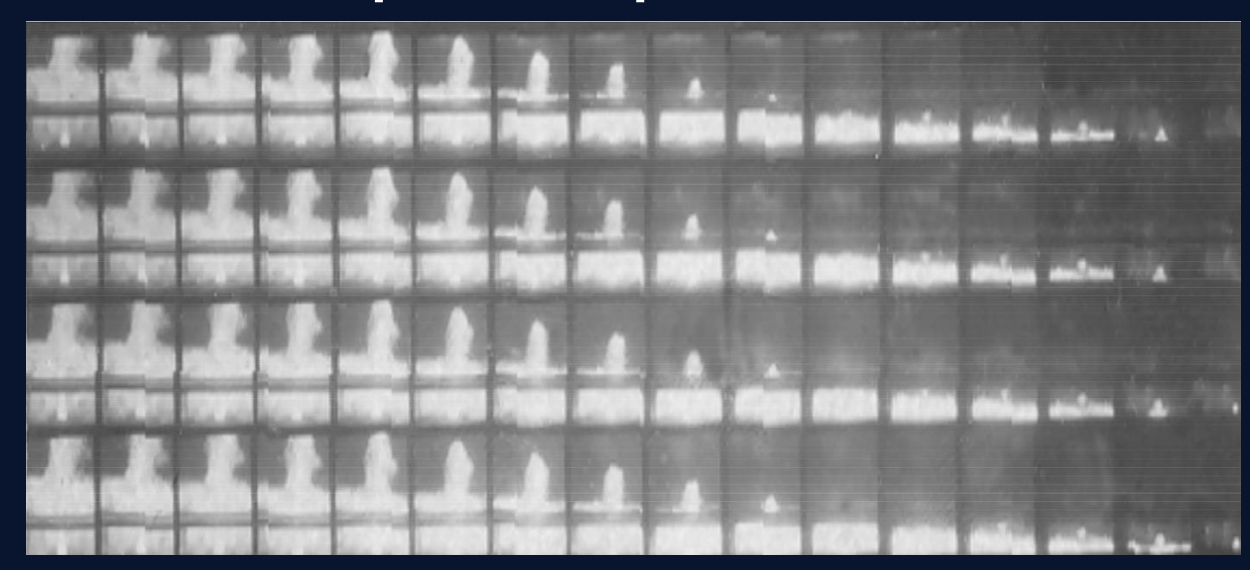


Схематическое изображение плазменного ускорителя установки:

- 1 внутренний цилиндрический электрод;
- 2 композитный электровзрываемый проводник;
- 3 изолятор;
- 4 разрядная камера (сопло);
- 5 держатель образца;
- 6 внешний кольцевой электрод;
- 7 образец;
- 8 вакуумная камера;
- 9 Система откачки воздуха.



_ Приложение 2. Процесс электровзрывного напыления



Однокадровые изображения зоны распространения плазмы. Размер каждого кадра 60 × 60 мм². Интервал между кадрами 1 мкс. Начало распространения плазмы соответствует правому верхнему кадру.

Sarychev, Vladimir, et al. "Modeling of the initial stages of the formation of heterogeneous plasma flows in the electric explosion of conductors." Current Applied Physics 18.10 (2018): 1101-1107.



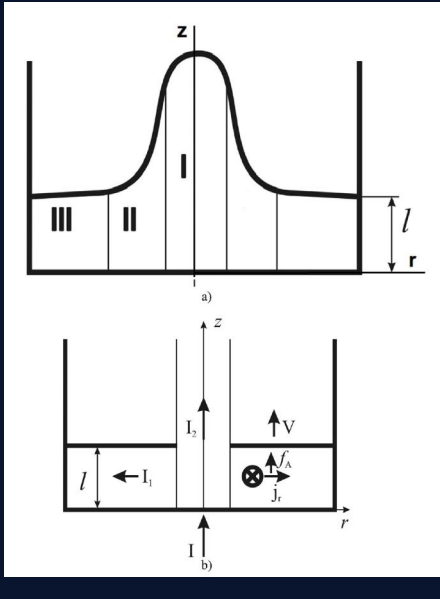
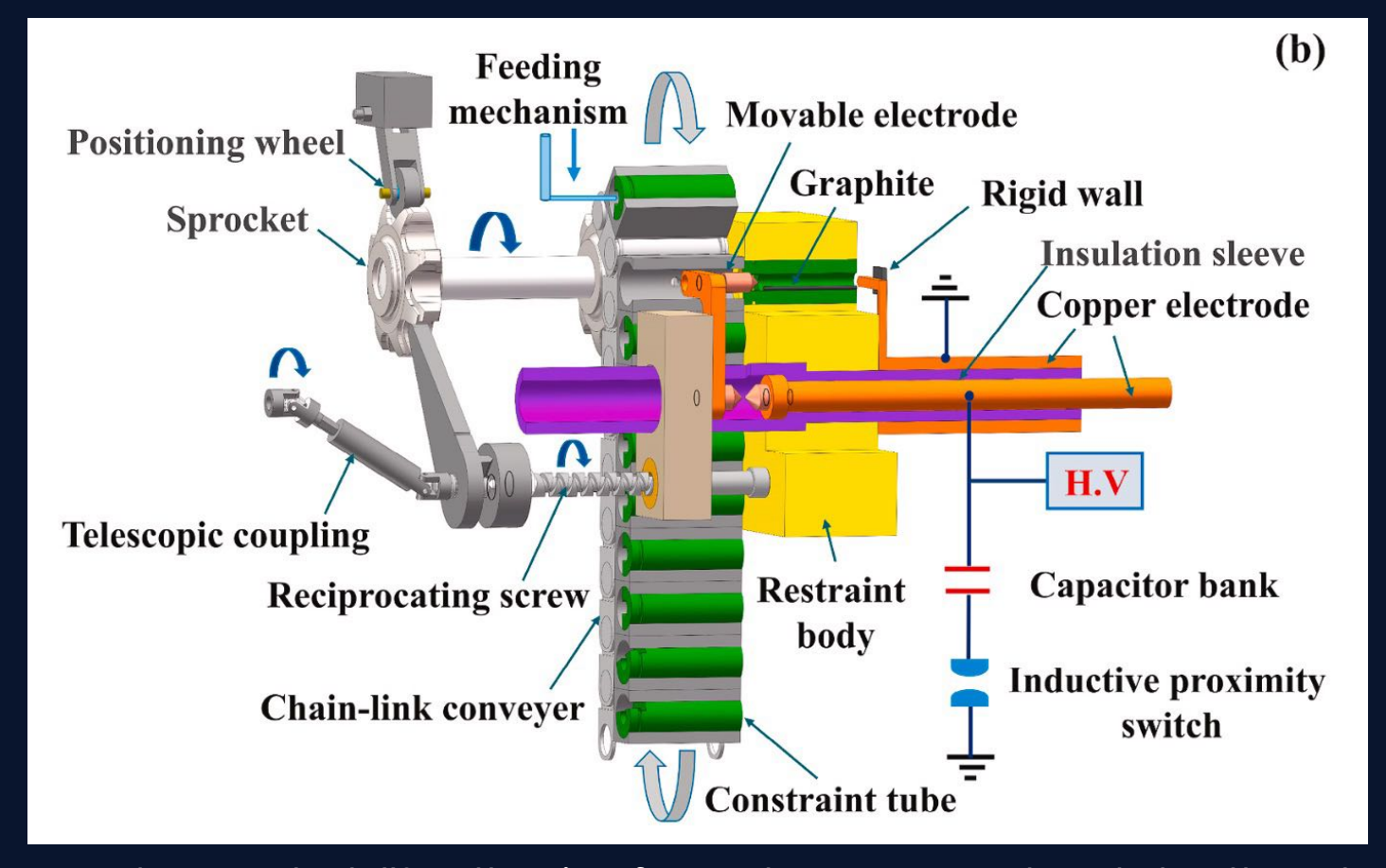


Схема распространения плазмы (1 плазменный фокус, II – зона поворота плазменного потока, III – зона параллельного течения) (а), Картина распределения электрического тока в плазме (б) (11, 12 – токи на диске и вдоль оси соответственно, І – сила тока через батарею, V – скорость вдоль оси z, fA – плотность силы Ампера).



Приложение 3. Пример трубчатой конструкции электровзрывной камеры





^{*} Wang, Xudong, et al. "Synthesis of graphene nanosheets by the electrical explosion of graphite powder confined in a tube." *Ceramics International* 47.15 (2021): 21934-21942.



Приложение 4. SWOT анализ



Сильные стороны

- Увеличения срока службы лопаток ТВД
 ТРД и ГТ
- Увеличение тяги за счет увеличения рабочей температуры
- Увеличение интервалов между ТОиР



Сильные стороны

- Укрепление сотрудничества научноисследовательских центров и промышленности
- Снижение зависимости авиационной промышленности от иностранных технологий



Слабые стороны

- Ограниченное число потребителей на внутреннем рынке
- Проблемы с выводом предлагаемой технологии на международный рынок
- Часть материалов производится только за границей



Угрозы

- Падение спроса на авиационную продукцию из-за внешних экономических факторов
- Отсутствие дальнейших инвестиций в проект